

На правах рукописи



A handwritten signature in black ink, likely belonging to the author or supervisor, is placed here.

Аксентьев Александр Евгеньевич

**Метод замороженного спина для поиска
электрического дипольного момента дейтрона в
накопительном кольце**

Специальность 01.04.20 —
«Физика пучков заряженных частиц и ускорительная техника»

Автореферат
диссертации на соискание учёной степени
кандидата физико-математических наук

Москва — 2020

Работа выполнена в Национальном Исследовательском Ядерном Университете “МИФИ”.

Научный руководитель: доктор физ.-мат. наук, профессор
Сеничев Юрий Валерьевич

Консультант: кандидат физ.-мат. наук, доцент
Полозов Сергей Маркович

Официальные оппоненты: **Фамилия Имя Отчество,**
доктор физико-математических наук, профессор,
Не очень длинное название для места работы,
старший научный сотрудник

Фамилия Имя Отчество,
кандидат физико-математических наук,
Основное место работы с длинным длинным
длинным длинным названием,
старший научный сотрудник

Ведущая организация: Федеральное государственное бюджетное об-
разовательное учреждение высшего профес-
сионального образования с длинным длинным
длинным длинным названием

Защита состоится DD mmmmmmmm YYYY г. в XX часов на заседании
диссертационного совета **Д 123.456.78** при **Название учреждения** по адресу: **Адрес.**

С диссертацией можно ознакомиться в библиотеке **Название библиотеки.**

Отзывы на автореферат в двух экземплярах, заверенные печатью учре-
ждения, просьба направлять по адресу: **Адрес**, ученому секретарю диссер-
тационного совета **Д 123.456.78.**

Автореферат разослан DD mmmmmmmm YYYY года.
Телефон для справок: +7 (0000) 00-00-00.

Ученый секретарь
диссертационного совета
Д 123.456.78,
д-р физ.-мат. наук

Фамилия Имя Отчество

Общая характеристика работы

Актуальность темы. Одной из альтернатив Стандартной Модели (СМ) элементарных частиц являются теории суперсимметрии (так называемые SUSY-теории). Электрический дипольный момент (ЭДМ) элементарных частиц может служить отличным инструментом для выбора между этими двумя моделями; к примеру: в случае нейтрона, электрический дипольный момент, совместный со стандартной моделью, находится в диапазоне от 10^{-33} до 10^{-30} е·см. [1], в то время как SUSY-теории предсказывает наличие ЭДМ гораздо большей величины – на уровне $10^{-29} - 10^{-24}$ е·см.

Поиск ЭДМ частиц был начат более 50-ти лет назад. Первый эксперимент по измерению ЭДМ нейтрона был проведён д-р. Н.Ф. Рэмзи (Dr. N.F. Ramsey) в конце 1950-х годов. По результатам эксперимента, верхняя граница ЭДМ нейтрона была ограничена величиной $5 \cdot 10^{-20}$ е·см. [2] С тех пор было проведено множество более точных экспериментов, и на данный момент, верхняя граница на ЭДМ нейтрона находится на уровне $2.9 \cdot 10^{-26}$ е·см. [3; 4]

Большинство экспериментов проводятся на зарядово-нейтральных частицах, таких как нейtron или атомы. ЭДМ заряженных частиц, таких как протон или дейtron, можно измерить в накопительном кольце, на основе прецессии поляризации пучка в электрическом поле в системе центра масс пучка.

Идея использования накопительного кольца для детектирования ЭДМ заряженной частиц появилась в процессе разработки $g - 2$ эксперимента [5] в Брукхейвенской Национальной Лаборатории (BNL, США). По результатам экспериментов в BNL, верхняя граница электрического дипольного момента мюона была установлена на уровне 10^{-19} е·см. [6] В 1990-х годах, дискуссия преимущественно велась вокруг мюонного эксперимента [7], однако также рассматривался и дейtron, у которого похожее отношение аномального магнитного момента к массе.

В 2004 году, коллаборацией srEDM (Storage Ring EDM Collaboration) [8] в BNL был предложен эксперимент 970 по детектированию ЭДМ дейтрана на уровне 10^{-27} е·см в накопительном кольце.

Тогда же была предложена идея “замороженного спина” (“frozen spin” method [7]), в котором направления векторов спина и импульса (референсной) частицы совпадают в каждый момент времени. Это условие должно обеспечивать максимальный рост сигнала электрического дипольного момента при его наличии. Теретически, условие “замороженного спина” означает нулевой спиновый резонанс, при котором ориентация спин-вектора остается пространственно-неизменной при отсутствии электрического дипольного момента. Тогда, любой рост вертикальной компоненты поляризации пучка детектирует наличие электрического дипольного момента.

Таким образом, измеряя амплитуду вертикальной компоненты спина, мы определяем величину электрического дипольного момента. Реализация этой концепции потребует специальное накопительное кольцо и определенных параметров пучка.

Однако, в последствии выяснилось, что “замороженный спин” – лишь одно из условий успешного детектирования электрического дипольного момента. В частности, для измерения ЭДМ с требуемой точностью необходимо накопление большой статистики, которое возможно при сохранении поляризации, то есть максимальной односторонности спина всех частиц в пучке, в течение достаточно длительного времени, порядка 1 000 секунд.

Другим важным условием является требование исключения примешивания к сигналу ЭДМ сигнала магнитного дипольного момента (МДМ), возникающего из-за различного рода несовершенств элементов кольца, и соизмеримого с ЭДМ. Классический метод “замороженного спина” (когда спин-прецессия, связанная с МДМ, исключена полностью) проблематичен в этом отношении по двум причинам: во-первых, при приближении к состоянию “замороженности” спина малейшие возмущения со стороны магнитного и электрического полей приводят к нарушению ориентации оси стабильного спина, что сразу же вносит неопределенность в измерение вертикальной компоненты спина; во-вторых, для уменьшения скорости МДМ спин-прецессии вокруг радиальной оси до уровня, позволяющего измерить ЭДМ с точностью 10^{-29} е·см, необходимо устанавливать оптические элементы ускорителя с точностью, значительно превышающей технологические возможности современных геодезических методов.

Начиная с 2005 года, на циклотроне AGOR KVI-центра передовых радиационных технологий (KVI-Center for Advanced Radiation Technology) в университете Гронингена была проведена серия тестов по технико-экономическому обоснованию эксперимента.

В 2008 году начались исследования на накопительном кольце COSY в Исследовательском центре “Юлих” (Forschungszentrum Jülich GmbH, Германия). В период с 2015 по 2019 автор принимал непосредственное участие в этих работах. Исследования велись по трем направлениям.

Первое: экспериментальное изучение декогеренции спина частиц в пучке. Поскольку кольцо COSY не отвечает требованиям реализации условия “замороженного спина,” декогеренция изучалась по времени исчезновения средней по пучку асимметрии сечения взаимодействия в реакции рассеяния дейtronного пучка на углеродной мишени [9]. Вектор поляризации пучка при этом быстро прецессировал в плоскости замкнутой орбиты, что, однако, не влияет на сделанные выводы.

Второе направление — экспериментальное детектирование сигнала электрического дипольного момента с помощью возбуждения параметрического резонанса прецессии спина. Сила резонанса при этом пропорциональна величине детектируемого ЭДМ. Резонансный метод не требует

условия “замороженного спина,” но его чувствительность на четыре-пять порядков ниже; в лучшем случае, его достижимый предел измерения ЭДМ находится на уровне 10^{-24} e·см.

Третье направление — разработка метода измерения ЭДМ, и его полномасштабное моделирование с целью его совершенствования, а также разработки новых подходов к измерению электрического дипольного момента заряженной частицы с использованием накопительного кольца.

Впоследствии, эти тесты развились в программу по изучению спин-орбитальной динамики пучка для разработки технологий, требуемых для эксперимента по поиску ЭДМ. В этом же году было сделано второе предложение [10] эксперимента по поиску ЭДМ дейtron'a на основе концепции “замороженного спина”; в этот раз — на уровне 10^{-29} e·см при условии накопления результатов измерения в течение года.

В то же время было решено, что эксперимент по детектированию ЭДМ протона, поскольку его можно измерить в полностью электростатическом кольце, обладает некоторыми техническими достоинствами. Среди таковых предполагается возможность одновременной инжекции противоположно-циркулирующих пучков, что позволяет уменьшить систематические ошибки измерения ЭДМ протона, вызванные несовершенством элементов накопительного кольца. Тем не менее, на COSY была продолжена работа над экспериментом с дейtronом, ввиду того, что результаты, полученные для дейтрона, распространяются и на протон.

В 2011 году была сформирована коллаборация JEDI (Jülich Elecric Dipole moment Investigations). [11] Целью коллаборации является не только разработка ключевых технологий для sEDM, но также и проведение предварительного эксперимента прямого наблюдения ЭДМ дейтрона.

В 2018 году, JEDI-коллаборация выполнила первое измерение дейтронного ЭДМ на COSY на основе резонансного метода [12; 13] с использованием специально разработанного для этой цели RF Wien filter [14; 15]. В кольце с незамороженным спином ЭДМ генерирует мало-амплитудные осцилляции вертикальной компоненты поляризации пучка; например, при импульсе дейтронов 970 МэВ/с, как на COSY, амплитуда колебаний ожидается на уровне $3 \cdot 10^{-10}$ при величине ЭДМ $d = 10^{-24}$ e·см. В связи с малостью амплитуды колебаний, установленный в данном эксперименте предел измерения ЭДМ оценивается на уровне $d = 10^{-24}$ e·см.

Целью данной работы является развитие метода поиска электрического дипольного момента дейтрона с использованием накопительного кольца на основе измерения частоты прецессии спина (frequency domain method) с экспериментально подтвержденной точностью.

Для достижения поставленной цели необходимо было решить следующие задачи:

1. Формулирование метода измерения электрического дипольного момента дейтрона на основе измерения частоты прецессии спина (frequency domain method).
2. Анализ требований к магнитооптической структуре кольца-накопителя, ориентированного на поиск электрического дипольного момента дейтрона.
3. Исследование явления декогеренции спина пучка дейтронов в окрестности состояния “замороженного” спина.
4. Разработка метода подавления декогеренции спина с помощью нелинейных элементов.
5. Исследование влияния различного рода несовершенств элементов кольца на спин-орбитальную динамику.
6. Математическое моделирование процесса калибровки нормализованной частоты прецессии спина (спин-тюн) при померенной смене полярности ведущего поля.
7. Анализ систематических ошибок в различных предложении по проведению эксперимента по поиску электрического дипольного момента, и их сравнение с методом frequency domain.
8. Изучение накопления необходимой статистики измерения электрического дипольного момента.

Научная новизна:

1. Впервые предложен метод измерения электрического дипольного момента дейтрона основанный исключительно на измерении частоты прецессии спина в накопительном кольце (frequency domain method), с оцениваемым ограничением по точности оцениваемым на уровне $10^{-29} \text{ e}\cdot\text{см}$.
2. Изучена спин-орбитальная динамика дейтронного пучка в окрестности состояния “замороженного” спина в накопительном кольце для поиска электрического дипольного момента.
3. Предложен метод калибровки средней по пучку нормированной частоты прецессии спина, позволяющий уменьшить вклад систематических ошибок.
4. Введено определение эффективного значения фактора Лоренца, необходимое для определения зависимости частоты прецессии спина от координат в 3-х мерном пространстве.
5. Сделаны статистические оценки предельной чувствительности измерения ЭДМ предложенным методом в накопительном кольце.
6. Проведена общая классификация методов поиска ЭДМ в накопительном кольце; систематизированы их общие проблемы.

Практическая значимость. Результаты исследования вошли в Yellow Report под названием “Feasibility Study for an EDM Storage Ring,” подготовляемый для CERN коллаборацией CPEDM, в которую входит коллаборация JEDI.

Отметим, что целью экспериментов по поиску ЭДМ является проверка СР-инвариантности. При этом, ЭДМ элементарных частиц нарушают одновременно и Р-, и Т-симметрию, а следовательно требуют дополнительных модельных предположений, для того, чтобы связать их существование с СР-нарушением. [16, стр. 1926]

Альтернативой является эксперимент TRIC (Time Reversal Invariance at Cosy), [16] в котором используется Т-нечётное, Р-чётное взаимодействие, и следовательно нарушается только Т-симметрия. В связи с этим, никаких дополнительных предположений не требуется.

TRIC входит в физическую программу PAX (Polarised Antiproton eXperiments) [17], для которой требуются высокointенсивные поляризованные пучки. Существует два подхода к получению поляризованных пучков: спин-флиппинг, и спин-фильтринг. Спин-флиппинг позволяет получать более интенсивные пучки, однако на данный момент не существует стабильно-работающих методов спин-флиппинга.

Рассмотренные в настоящей работе особенности спиновой динамики вблизи состояния “замороженного” спина (в частности — подавление спин-декогеренции секступольными полями) представляют большой интерес с точки зрения сохранения поляризации в окрестности нулевого спинового резонанса и могут быть использованы при планировании экспериментов на ускорительном комплексе NICA (Дубна).

Методология и методы исследования. Основными методами исследования являются математическое и компьютерное моделирование, и численный эксперимент.

Основные положения, выносимые на защиту:

1. Метод измерения электрического дипольного момента дейтрона, основанный исключительно на измерении частоты прецессии спина.
2. Принцип построения магнитооптической структуры кольца-накопителя, ориентированного на поиск электрического дипольного момента дейтрона.
3. Результаты исследования декогеренции спина пучка дейтронов в окрестности состояния “замороженного” спина, и метод подавления декогеренции спина с помощью нелинейных элементов.
4. Исследование влияния различного рода несовершенств элементов накопительного кольца на спин-орбитальную динамику пучка.
5. Метод калибровки нормализованной частоты прецессии спина (спин-тьюн) при попеременной смене полярности ведущего поля и его численное моделирование.
6. Результаты исследования систематических ошибок в различных предложениях по проведению эксперимента по поиску электрического дипольного момента, и их сравнение с методом Frequency Domain.

7. Оценка статистических свойств Frequency Domain метода измерения электрического дипольного момента в накопительном кольце.

Достоверность полученных результатов обеспечивается согласованием аналитических вычислений с результатами численных экспериментов. Результаты компьютерных симуляций находятся в соответствии с результатами, полученными другими авторами, и результатами, полученными в экспериментах на ускорителе COSY (Исследовательский центр “Юлих,” Германия).

Апробация работы. Основные результаты работы докладывались на:

- IX международной конференции по ускорителям заряженных частиц IPAC'17, Копенгаген, Дания.
- X международной конференции по ускорителям заряженных частиц IPAC'19, Мельбурн, Австралия.
- конференциях коллаборации JEDI, Юлих, Германия, 2017–2019.
- III международной конференции “Лазерные, плазменные исследования и технологии,” (LaPlas) Москва, Россия.
- IV международной конференции LaPlas, Москва, Россия.
- V международной конференции LaPlas, Москва, Россия.
- студенческих семинарах Института Ядерных Исследований, Исследовательский Центр “Юлих,” Германия.

Личный вклад. Все положения, выносимые на защиту, получены автором лично. Результаты аналитического и численного исследования спин-орбитальной динамики пучка для моделирования метода измерения электрического дипольного момента дейтрана с помощью измерения прецессии спина в накопительном кольце получены автором лично либо при участии научного руководителя. Вклад соавторов в результаты, полученные совместно, оговаривается в тексте диссертации для каждого случая.

Публикации. Основные результаты по теме диссертации изложены в 11 печатных изданиях: 4 изданы в журналах, индексируемых в международных базах цитирования Scopus и Web of Science, а 7 — в трудах докладов на международных конференциях. Из последних, 4 работы входят в базу Scopus, 3 в РИНЦ.

Содержание работы

Во **введении** обосновывается актуальность исследований, проводимых в рамках данной диссертационной работы, приводится обзор научной литературы по изучаемой проблеме, формулируется цель, ставятся задачи работы, излагается научная новизна и практическая значимость представляемой работы. Содержание следующих глав такого:

Глава 1 посвящена анализу методологии измерения электрического дипольного момента (ЭДМ) элементарной частицы при помощи накопительного кольца, работающего в режиме “замороженного спина.”

Глава поделена на три раздела. В разделе 1.1 понятие “замороженный спин” определено как состояние, при котором направление спин-вектора частицы зафиксировано относительно её вектора импульса; отмечено преимущество работы в режиме “замороженного спина,” а также условия его реализации в накопительных кольцах различных типов (чисто электростатические, чисто магнитные, комбинированные).

В разделе 1.2 проводится анализ двух магистральных подходов к измерению ЭДМ частицы в накопительном кольце с замороженным спином, с целью формулирования критерии успешности методики измерений. Методы делятся на две категории: (1) методы пространственной области, и (2) методы частотной области. В методах пространственной области, индикатором ненулевого ЭДМ является отклонение вектора поляризации изначально полностью продольно-поляризованного пучка от плоскости замкнутой орбиты. В методах частотной области, показателем отличия ЭДМ от нуля является разница между частотами прецессии спинов частиц пучка в экспериментах с противоположным течением времени.

Систематизируются основные проблемы, возникающие при попытке измерить ЭДМ частицы в накопительном кольце при любом из существующих подходов:

- (1) возмущения спиновой динамики частиц;
- (2) спин-декогеренция;
- (3) неидеальности оптической структуры ускорителя. (Вызывает фальш-сигнал ЭДМ.)

В подразделе 1.2.5 описывается метод (Frequency Domain Method), разработанный с целью решения всех поставленных выше проблем.

Метод основан на утверждении об эквивалентности, с точки зрения спиновой динамики, частиц с одинаковым равновесным уровнем энергии – в независимости от их траекторий. Для доказательства этого утверждения, в подразделе 1.2.6 вводится понятие *эффективного Лоренц-фактора*, позволяющего учесть влияние удлинения орбиты частицы (за счёт бетатронного движения и дисперсии) на её частоту прецессии спина.

В разделе 1.3 представлены три варианта магнитооптической структуры кольца для измерения ЭДМ дейtron'a предлагаемым методом: одна структура (FS) реализует классическое определение “замороженности” спина (т.е. горизонтальные проекции спин-вектора и вектора импульса частицы соправлены в каждый момент времени), две другие реализуют состояние “квази-замороженного спина” (QFS).

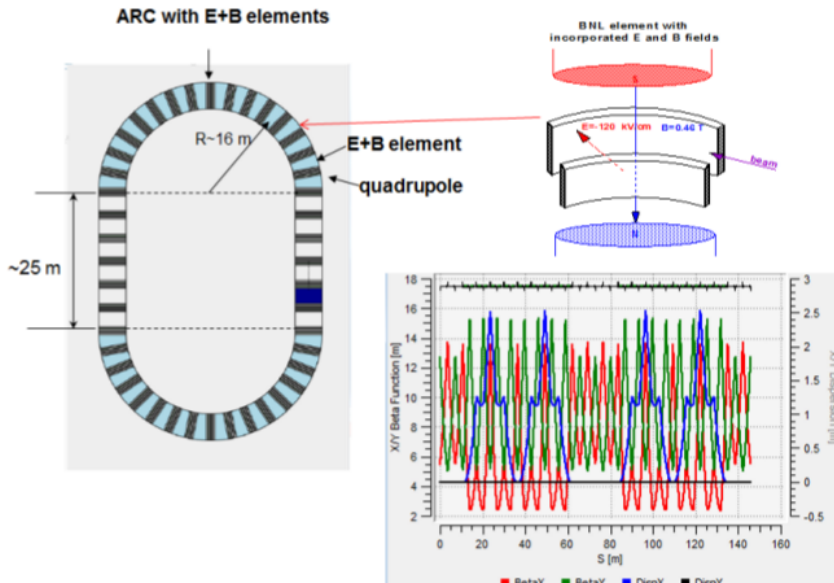


Рис. 1 — Магнитооптическая структура кольца с “замороженным спином”

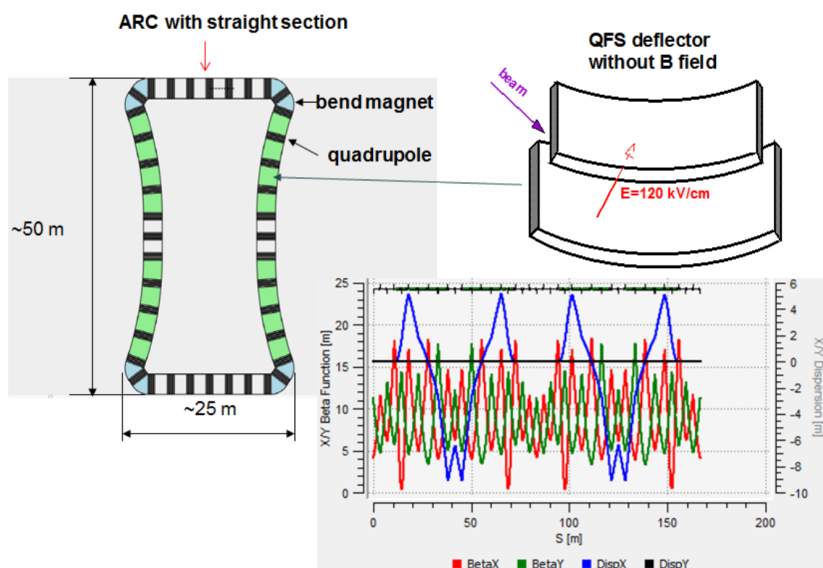


Рис. 2 — Магнитооптическая структура кольца с “квази-замороженным спином,” с пространственно-разделёнными Е- и В- полями

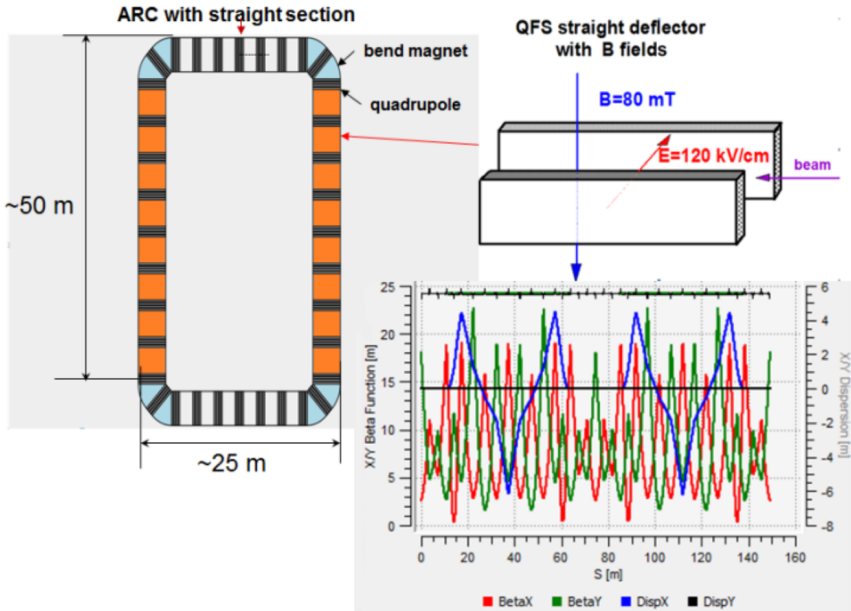


Рис. 3 — Магнитооптическая структура накопительного кольца с “квази-замороженным спином,” с пространственно-совмешёнными Е- и В- полями

Необходимость разработки QFS-структур обусловлена тем, что даже в FS-структуре (Рисунок 1), условие замороженности спина, хотя и обеспечивает *максимальную* амплитуду ЭДМ-сигнала, выполняется строго только для референсной частицы. При этом, FS-структура требует использование цилиндрических спин-ротаторов с совмешёнными электрическим и магнитным полями.

Преимущество кольца QFS-типа сосчит в относительной простоте исполнения: в предложенных вариантах, используются либо

- (i) цилиндрические электростатические дефлекторы и магнитные диполи раздельно (Рисунок 2), либо
- (ii) прямые фильтры Вина (Рисунок 3).

Простота исполнения, в свою очередь, позволяет использовать QFS структуру в неспециализированном под измерения ЭДМ накопительном кольце.

Глава 2 посвящена анализу проблем измерения ЭДМ частицы в накопительном кольце с замороженным спином, и поиску их решений.

Рассматриваются следующие проблемы:

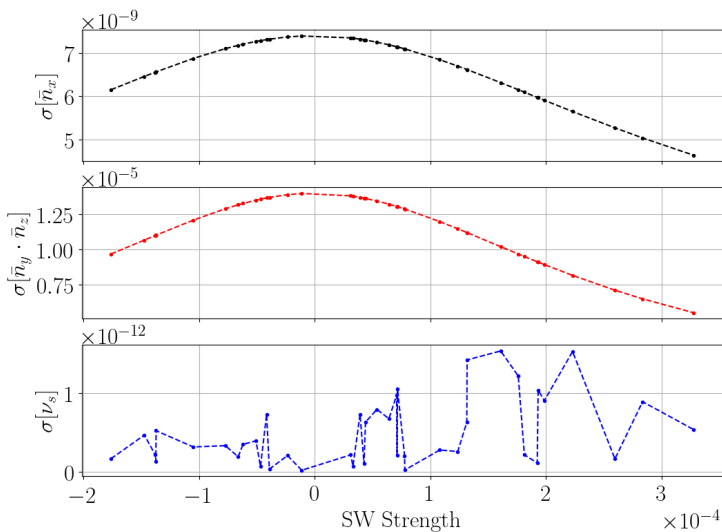
Возмущения спиновой динамики частицы вызванные её бетатронными колебаниями, и их эффект на ЭДМ-статистику частотного метода измерений (раздел 2.1).

Суть проблемы в следующем: частота прецессии спина, на основании которой делаются выводы о величине ЭДМ в методах частотной области, вычисляется посредством фитирования гармонической функции $f(t) = a \cdot \sin(\omega \cdot t + \phi)$ с *постоянными* параметрами (a, ω, ϕ) . При этом, для частиц, вовлечённых в бетатронное движение, решение уравнения спин-динамики (уравнение Томаса-Баргманна-Мишеля-Телегди) для вертикальной компоненты спин-вектора:

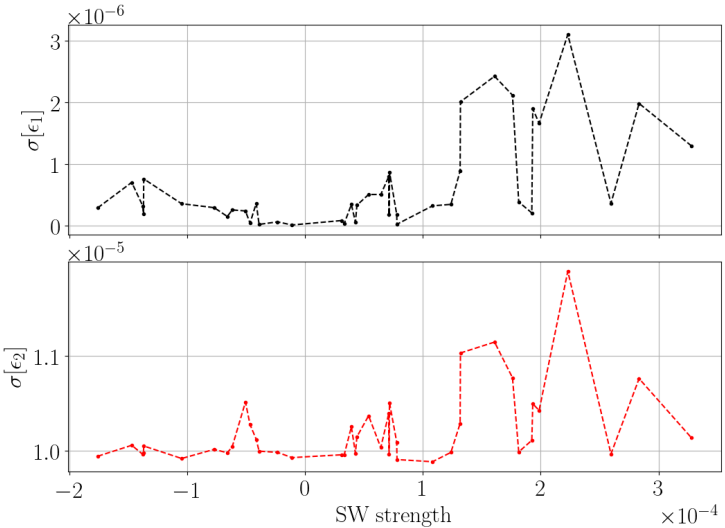
$$s_y = \sqrt{(\bar{n}_y \bar{n}_z)^2 + \bar{n}_x^2} \cdot \sin\left(2\pi \cdot \nu_s \cdot \frac{t}{T} + \phi\right), \quad (1)$$

где \bar{n} – ось стабильного спина частицы – *меняет своё направление* во время бетатронного движения. [18, стр. 11] Несоответствие между фитируемым сигналом и моделью влечёт за собой систематическую ошибку в оценке параметров модели. На сколько вариация в амплитуды колебаний вертикальной компоненты поляризации влияет на систематическую ошибку оценки частоты колебаний – и был интересовавший нас вопрос.

В ходе численного моделирования, мы получили данные, представленные на Рисунке 4.



a) Компонент \bar{n}



б) Сравнительных невязок. Верхняя панель: невязка ϵ_1 ;
нижняя панель: невязка ϵ_2

Рис. 4 — Стандартные отклонения в зависимости от относительной частоты МДМ спин-прецессии

Здесь, сравнительные невязки $\epsilon_1 = s_y^{gen} - s_y^{idl}$, $\epsilon_2 = S_y^{trk} - s_y^{idl}$, где временная серия $s_y^{trk}(t)$ получена посредством трекинга частиц в коде COSY INFINITY [19]; $s_y^{gen}(t)$ получена из уравнения (1) при подстановке значений $\nu_s(t)$ и $\bar{n}(t)$, а $s_y^{idl}(t)$ — при подстановке $\nu_s = \langle \nu_s(t) \rangle$ и $\bar{n} = \langle \bar{n}(t) \rangle$.

Основные выводы, сделанные на основе анализа данных симуляции, таковы:

1. Осцилляции амплитуды сигнала очень малы. Они происходят на уровне не более 10^{-4} (при $\alpha \sim N(0, 3 \cdot 10^{-2})$ градусов), тогда как ожидаемая неточность измерений поляризации находится на уровне процентов. Это значит, что суперпозиция систематической ошибки и случайной ошибки измерения не будет проявлять статистически-значимую систематичность.
2. Коэффициент корреляции между оценками амплитуды и частоты не значителен. Колебания амплитуды влияют на оценку \hat{a} в первую очередь; их эффект на оценку $\hat{\omega}$ опосредован, и описывается коэффициентом корреляции. Поскольку он меньше 10%, даже если колебания окажутся достаточными, чтобы повлиять на оценку амплитуды, их эффект на оценку частоты будет уменьшен по крайней мере в 10 раз.

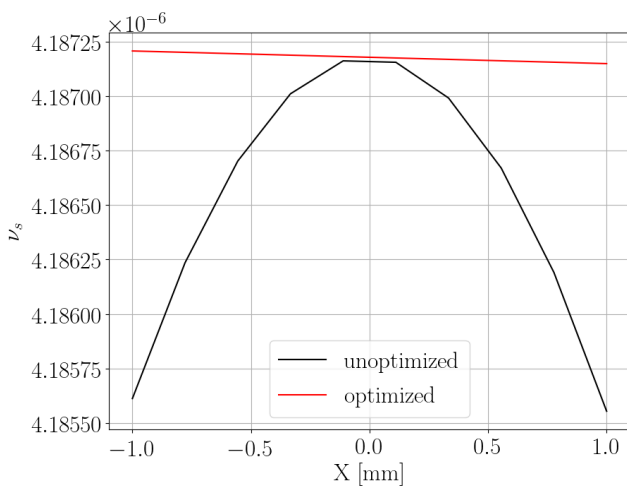
3. Этот систематический эффект контролируется. И этот фактор является основным достоинством методологий частотной области. Вводя в систему внешнее магнитное поле (SW на Рисунке 4), колебания \bar{n} могут быть непрерывно минимизированы до необходимого уровня, без каких-либо модификаций паттерна эксперимента.

Декогеренция спинов частиц продольно-поляризованного пучка при работе в режиме замороженного спина (раздел 2.2).

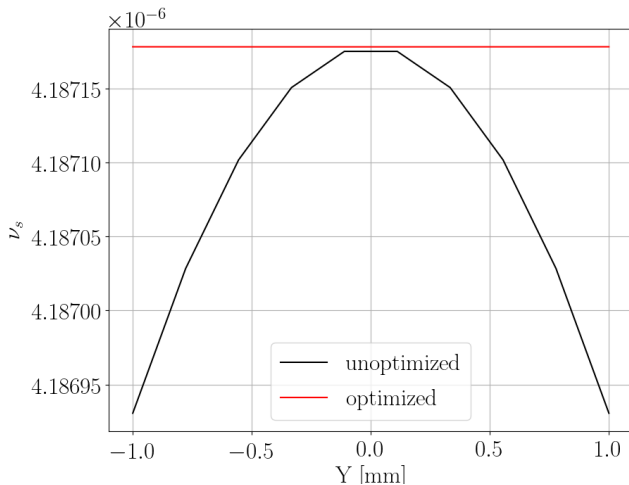
Проблема спин-декогеренции пучка вызвана различием частот прецессии спинов частиц пучка, что в свою очередь связано с разницей равновесных уровней энергии частиц.

Для решения проблемы спин-декогеренции применяют [9; 20] нелинейные элементы (секступоли), влияющие одновременно на длины орбит бетатрон-осциллирующих частиц, и на коэффициент сжатия орбиты $\alpha = \alpha_0 + \alpha_1 \delta$ (где $\delta = \Delta p/p_0$).

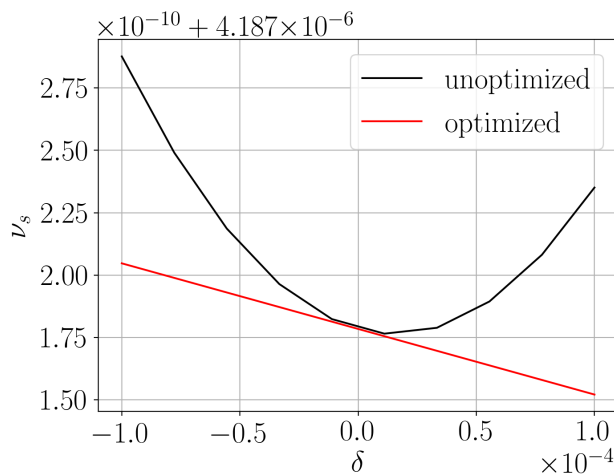
В подразделе 2.2.4 описаны результаты численного моделирования секступольного подавления спин-декогеренции в идеально отьюстированном (т.е. отсутствует МДМ спин-прецессия вокруг радиальной оси) накопительном кольце FS-типа (Рисунок 1). В результате симуляции были получены данные, представленные на Рисунке 5. Как следует из рисунка, при включении секступольных полей теряется зависимость нормированной частоты прецессии спина частицы (спин-тюна) от её координаты в поперечной к оптической оси плоскости ($x-y$) и от её энергии $\delta = \Delta K/K_0$ (где K – кинетическая энергия частицы, индекс 0 обозначает референсную частицу).



a) В горизонтальном направлении



6) В вертикальном направлении



в) По энергии

Цветом выделены зависимости при нулевом (чёрный) и

оптимизированном (красный) значениях градиента секступоля

Рис. 5 — Зависимость спин-тиона частицы от её смещения от референсной частицы

Существует предположение [21, стр. 5], что появление радиальной компоненты МДМ спин-прецессии подавляет спин-декогеренцию. В подразделе 2.2.5 показано, что появление радиальной компоненты МДМ спин-прецессии само по себе не подавляет спин-декогеренцию, а только

меняет плоскость, в которой она происходит (из горизонтальной в вертикальную).

В подразделе 2.2.6 описаны результаты численного моделирования сектупольного метода подавления спин-декогеренции в неидеальном ускорителе; на основе этой симуляции был проанализирован эффект сектупольных подей на спин-тюн частицы, а также и на направление её оси стабильного спина. По результатам анализа был сделан важный вывод: сектупольные поля выравнивают не только спин-тюны частиц бенча, но и направления их осей стабильного спина (см. Рисунок 6).

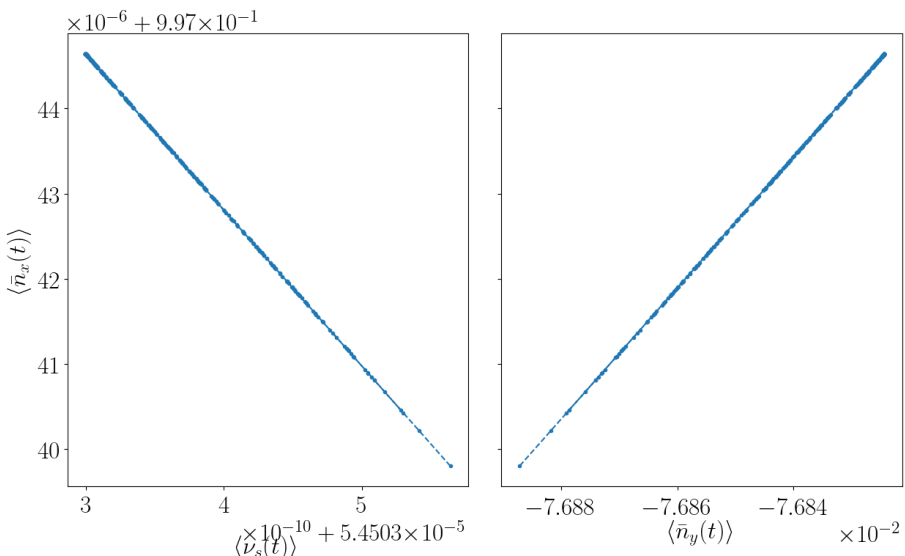
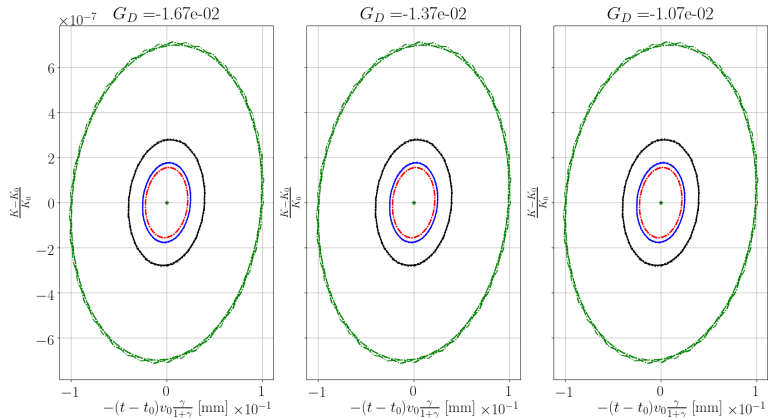
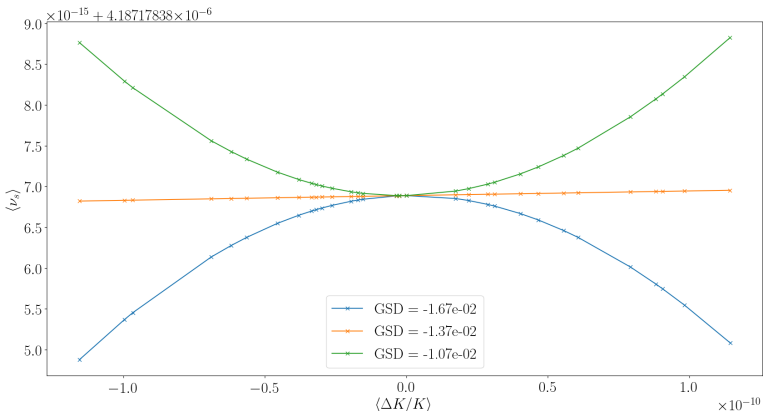


Рис. 6 — Средние уровни поперечных компонент осей стабильного спина частиц, в зависимости от уровня их спин-тюна.

В подразделе 2.2.7 анализируется механизм подавления спин-декогеренции сектупольными полями. Как было отмечено ранее, сектупольное поле влияет на декогеренцию двумя путями: модифицируя коэффициент сжатия орбиты, и длину орбиты частицы. По этой причине, для анализа использовались два теста. В первом, все частицы пучка (D-бенча) инжектируются на замкнутую орбиту, и различаются только начальным уровнем кинетической энергии. Поскольку при варьировании поля сектуполя длины орбит частиц не меняются, первый тест показывает эффект варьирования только коэффициента сжатия орбиты на зависимость спин-тюна частицы от её равновесного уровня энергии. Результаты представлены на Рисунке 7.



а) Фазовые эллипсы при различных значениях градиента секступоля

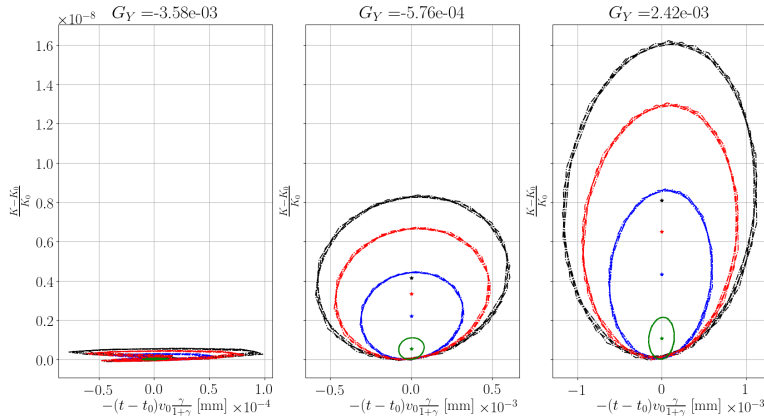


б) Зависимость среднего уровня спин-тюна частицы от её равновесного уровня энергии для различных значений градиента секступоля

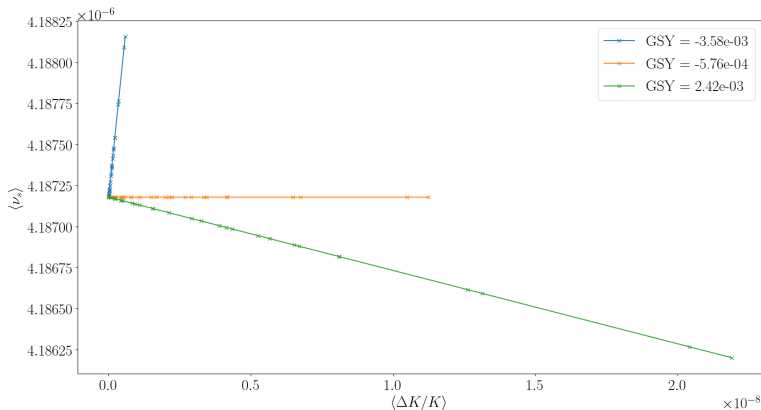
Рис. 7 — Фазовые портреты и функциональная зависимость спин-тюна частицы от её равновесного уровня энергии для D-банча

Мы отмечаем две вещи: (1) скученность центров фазовых эллипсов/точек на графике 76 не меняется при вариации градиента секступоля; (2) функциональная зависимость на графике 76 меняется при вариации градиента секступоля. Скученность центров фазовых эллипсов ассоциируется с дисперсией длин орбит частиц; функциональная зависимость $\nu_s = f(\langle \Delta K / K \rangle; \alpha_1)$ — с коэффициентом сжатия орбиты.

Во втором тесте, частицы (Y-банч) инжектировались на одной и той же энергии, но с различным начальным вертикальным смещением от замкнутой орбиты, т.е. совершили бетатронные колебания в вертикальной плоскости (в добавок к синхротронным колебаниям). Результаты теста представлены на Рисунке 8.



а) Фазовые эллипсы при различных значениях градиента секступоля



б) Фазовые портреты и функциональная зависимость спин-тюна частицы от её равновесного уровня энергии для Y-банча

Рис. 8 — Фазовые портреты и функциональная зависимость спин-тюна частицы от её равновесного уровня энергии для Y-банча

В данном случае отметим: (1) изменение скученности центров фазовых эллипсов, т.е. влияние вариации градиента секступоля на длины орбит частиц; (2) изменение функциональной зависимости $\nu_s = f(\langle \Delta K/K \rangle; \alpha_1)$; (3) оптимальное значение градиента секступоля (средняя панель на Рисунке 8а) не соответствует минимальному размеру фазовых эллипсов.

Свойства МДМ компоненты частоты спин-прецессии вокруг радиальной оси Ω_x^{MDM} , вызванной неидеальностями оптической структуры ускорителя, и составляющей основную систематическую ошибку измерений ЭДМ в накопительном кольце (любым из методов), анализируются в разделе 2.3.

В подразделе 2.3.1 подтверждаются следующие свойства Ω_x^{MDM} (см. Рисунок 9):

- (1) зависимость Ω_x^{MDM} только от среднего угла наклона спин-роторов $\langle \Theta_{tilt} \rangle$, но не от конкретной последовательности наклонов элементов $\{\Theta_{tilt}^{(i)}\}_{i \in J}$;
- (2) зависимость $\Omega_x^{MDM}(\langle \Theta_{tilt} \rangle) = L(\langle \Theta_{tilt} \rangle)$ носит линейный характер.

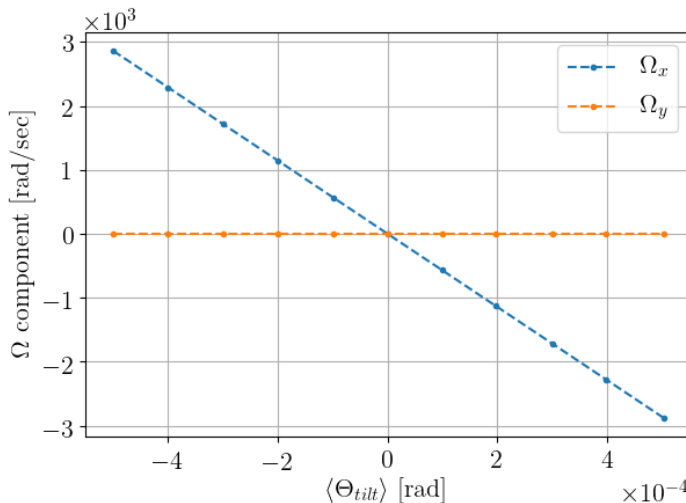


Рис. 9 — Зависимость компонент частоты МДМ спин-прецессии Ω^{MDM} референсной частицы в неидеальной FS-структуре 1 со случайно-распределёнными ошибками установки спин-роторов от их среднего угла наклона $\langle \Theta_{tilt} \rangle$

В подразделе 2.3.2 величина Ω_x^{MDM} сравнивается для двух противоположных направлений движения пучка: по (CW) и против (CCW) часовой стрелки. Результаты симуляции представлены на Рисунке 10.

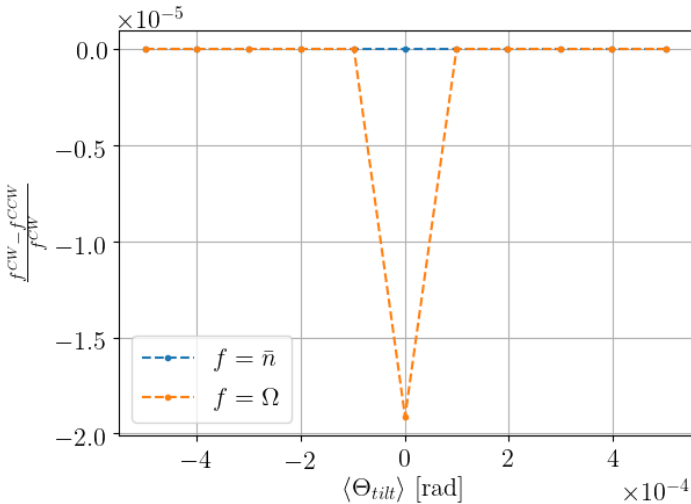


Рис. 10 — Относительная разница между радиальными компонентами оси стабильного спина и угловой скоростью поворота спина, посчитанная относительно значения для CW-циркулирующего пучка

По результатам симуляции сделан вывод о том, что при движении пучка в любом из направлений ось стабильного спина \bar{n} наклонена одинаково; при этом существует *различие* между спин-тионами CW и CCW пучков, но на уровне не более десятых долей процента, которое тем сильнее, чем меньше модуль Ω_x^{MDM} . Эта *разница* свидетельствует об асимметричности ускорительной структуры относительно обращения направления движения, с точки зрения спиновой динамики, и может объясняться различием референсных орбит CW и CCW пучков.

Проблема **смены полярности ведущего поля ускорителя** рассмотрена в разделе 2.4. Эта процедура необходима для смены направления движения дейtronного пучка, т.е. для сокращения МДМ компоненты совокупной частоты прецессии, измеряемой в методах частотной области.

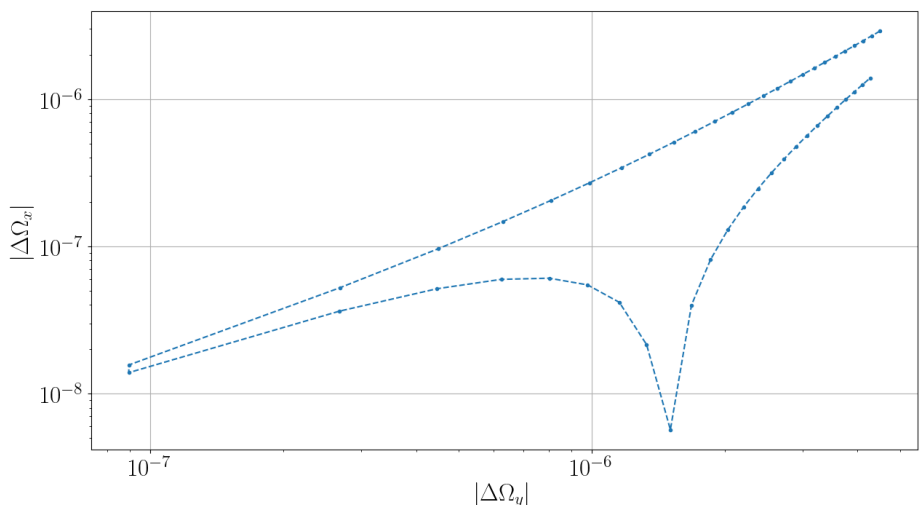
Необходимо отметить, что целью смены полярности ведущего поля является точное воспроизведение радиальной компоненты частоты МДМ прецессии Ω_x^{MDM} , индуцированной полями неидеальности оптической структуры ускорителя. Этот момент часто упускается из виду:

простое воспроизведение величины *магнитного поля* не достаточно, поскольку точка инъекции центроида пучка, а значит его длина орбиты — и, соответственно, спин-тюн, — подвержена вариации. Не говоря о возможной асимметричности оптической структуры кольца, с точки зрения спиновой динамики, относительно обращения направления движения пучка. Таким образом, необходимо восстанавливать не величину поля, а эффективный Лоренц-фактор центроида.

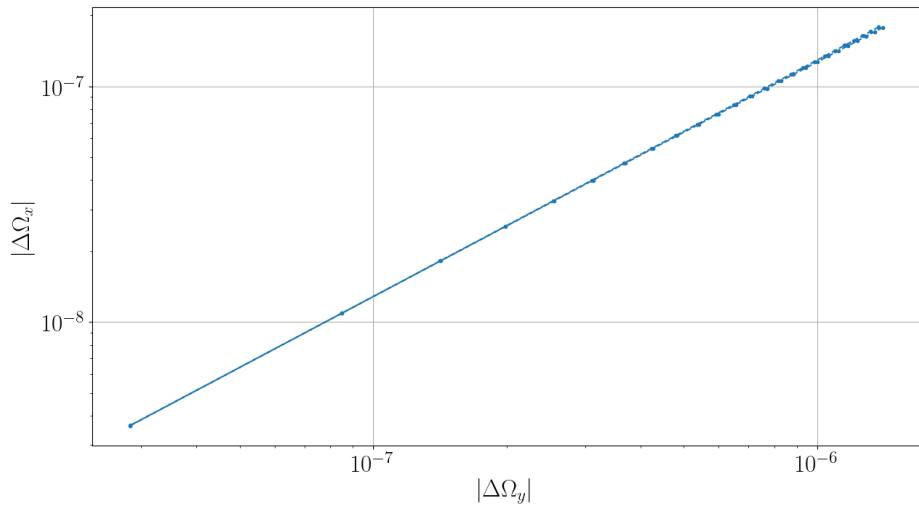
Для калибровки эффективного Лоренц-фактора, в *FD*-методе изменяется вертикальная компонента ЭДМ+МДМ частоты спин-прецессии Ω_y ; пучок при этом выводится из состояния “замороженного спина.”

В результате симуляции, были получены результаты, представленные на Рисунке 11.

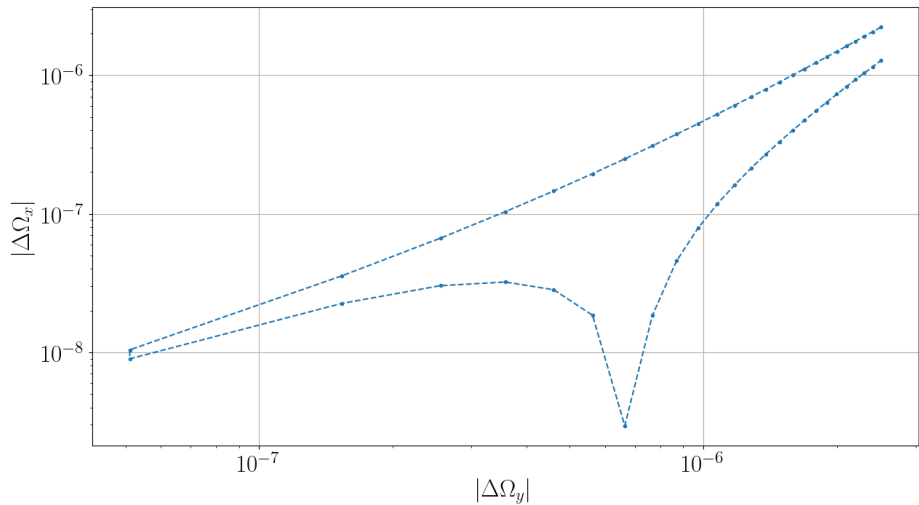
Можно видеть, что при уменьшении разницы $\Delta\Omega_y^{MDM} < 10^{-7}$ рад/сек (точность определения частоты, достигаемая при фильтровании данных с одного цикла), разница $\Delta\Omega_x^{MDM} < 10^{-8}$ рад/сек (т.е. на порядок меньше статистической погрешности). Это говорит о принципиальной возможности использования частоты прецессии спина в горизонтальной плоскости для калибровки частоты прецессии в вертикальной плоскости.



- a) Результаты симуляции для случая декогеренции, вызванной бетатронным движением в горизонтальной плоскости



б) Результаты симуляции для случая декогеренции, вызванной бетатронным движением в вертикальной плоскости



в) Результаты симуляции для случая декогеренции, вызванной синхротронным движением

Рис. 11 — Разница между радиальными компонентами частоты прецессии CW и CCW пучков в зависимости от разницы вертикальных компонент (калибровочный график)

Отдельно, в разделе 2.5, рассматривается вопрос интерпретации введённого в подразделе 1.2.6 понятия **эффективного Лоренц-фактора** (γ_{eff}).

Большая часть методологии, исследованию которой посвящена настоящая работа, основана на утверждении: частицы с одинаковым значением эффективного Лоренц-фактора имеют одинаковый спин-тюн, то есть эквивалентны с точки зрения спиновой динамики.

Раздел поделён на два подраздела. В подразделе 2.5.1 эффективный Лоренц фактор интерпретируется как математическое ожидание кинетической энергии частицы. Такая интерпретация предполагалась при введении этого понятия, однако она не подтвердилась. В подразделе 2.5.2 был принят более абстрактный подход: был поставлен вопрос о возможности сведения функции многих переменных $\nu_s(x,a,y,b,\ell,\delta)$ к функции одной переменной $\nu_s(\gamma_{eff})$. Возможность подтверждена, эффективный Лоренц-фактор интерпретируется как мера продольного эмиттанса пучка.

Глава 3 посвящена статистическому моделированию эксперимента, и оценке его возможной статистической точности. Исследуется возможность повышения эффективности поляриметрии путём использования частотно-модулированной схемы выборки. Модулированная схема состоит в том, чтобы измерять поляризацию пучка в момент максимальной скорости её изменения (см. Рисунок 12).

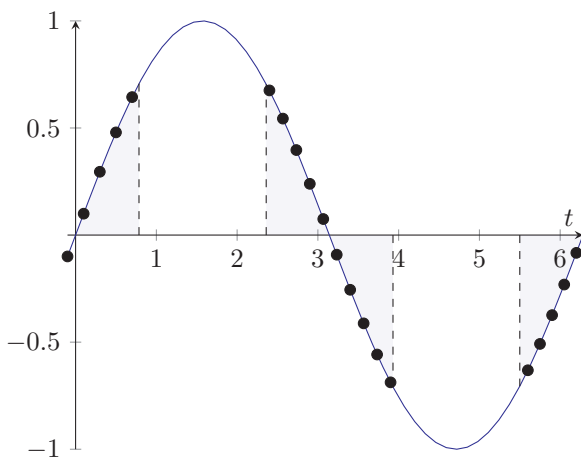


Рис. 12 — Частотно-модулированная выборка: измерения делаются только в максимально информативных точках, находящихся в окрестностях узлов сигнала

Мы приходим к выводу о нецелесообразности использования модулированной схемы выборки. Она даёт только малый выигрыш (40%) по

сравнению с немодулированной схемой, даже если не учитывать вариацию анализирующей способности детектора. Учитывая, что максимальная скорость изменения соответствует окрестности продольной ориентации вектора поляризации пучка, в которой анализирующая способность детектора минимальна, полезность модулированной схемы ещё меньше.

Также важно отметить отсутствие прямой зависимости между частотой ω измеряемого сигнала, и стандартным отклонением оценки частоты $\sigma_{\hat{\omega}}$. То есть, нет принципиальной разницы измеряется ли частота в 1 или 100 рад/сек. Это обстоятельство важно для методов детектирования ЭДМ, основанных на измерении частоты прецессии спина: благодаря ему, строго говоря, отсутствует необходимость подавлять МДМ-прецессию, связанную с неидеальностями оптической структуры ускорителя.

Также, была оценена эффективная длительность измерительного цикла, исходя из времени жизни поляризации пучка τ_d (опеределяемого как период времени, за который поляризация пучка уменьшается в e раз). Очевидно, что когда пучок полностью деполяризуется, мы не сможем получать информацию о скорости вращения его поляризации; т.е. существует принципиальное ограничение на полное количество информации (обозначим её FI_{tot}) о частоте прецессии спина, которое можно получить из одной инжекции. В таблице 1 отражено количество выбранной (относительно FI_{tot}) информации о частоте прецессии спина как функция длительности цикла, а также соответствующее отношение сигнал/шум. Исходя из данных таблицы, полезная длительность измерительного цикла ограничена тремя постоянными временем деполяризации.

Результаты численного моделирования [22] показывают возможность достичь точности оценки частоты прецессии спина на уровне $8 \cdot 10^{-7}$ рад/сек за один измерительный цикл, при постоянной времени деполяризации 1 000 сек, частоте измерения поляризации 375 Гц, и начальной ошибке измерения поляризации 3%. При 70% годовой временной загрузке ускорителя, это позволяет выйти на уровень $5 \cdot 10^{-9}$ рад/сек стандартного отклонения среднего значения оценки частоты. Такая точность достаточна для получения оценки ЭДМ на уровне 10^{-29} е·см.

Таблица 1 — Количество выбранной информации (в долях от потенциального максимума), в зависимости от длительности измерительного цикла, и соответствующее отношение сигнал/шум.

Инфо. (% FI_{tot})	Длительность ($\times \tau_d$)	Сигнал/шум
95	3.0	0.4
90	2.3	1.1
70	1.2	5.5
50	0.7	11.7

В Главе 4 описаны наиболее значимые (для данной работы) технологии, разработанные в рамках исследований, проводимых на синхротроне COSY (Рисунок 13), а также описаны результаты процедуры оптимизации времени когерентности спина (spin coherence time, SCT) при помощи семейств сектуполей, установленных на COSY (параметры COSY представлены в Таблице 2).

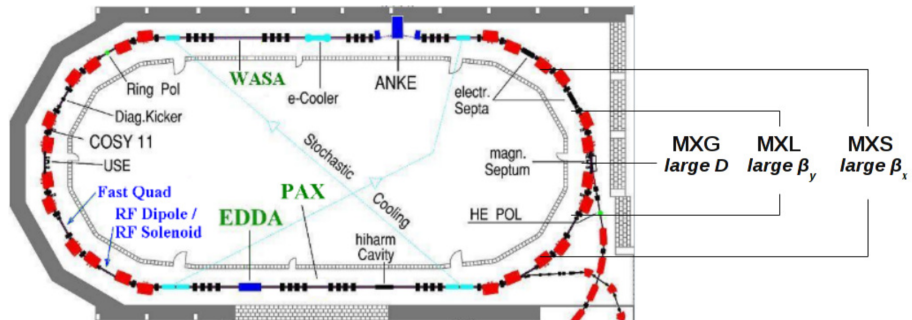


Рис. 13 — Кольцо COSY с отмеченными положениями сектуполей для контроля времени когерентности спина. (Рисунок взят из [23])

Таблица 2 — Рабочие параметры COSY, использованные в проводимых исследованиях

Параметр	Величина	Размерность
Длина окружности COSY	183	м
Импульс дейтрона	970	МэВ/с
β / γ	0.459 / 1.126	
Аномальный магнитный момент G	-0.143	
Частота обращения пучка f_{rev}	752543	Гц
Длительность измерительного цикла	100–1500	сек
Число частиц в пучке	$\approx 10^9$	

Описанные технологии:

- (1) высокоточное измерение спин-тиона (с точностью до 10^{-10} в измерительном цикле 100 секунд);
- (2) юстировка квадрупольей при помощи пучка (Beam Based Alignment [24]);
- (3) оптимизация времени когерентности спина [9; 23].

Отдельно стоит отметить наблюдение явления изменения SCT (см. Рисунок 14) при длительном измерении поляризации деструктивными методами, связанного с переходом от внешней (оболочки) к внутренней (ядру)

частям пучка. Наблюдение этого явления косвенно подтверждает теорию спин-декогеренции, изложенную в данной работе.

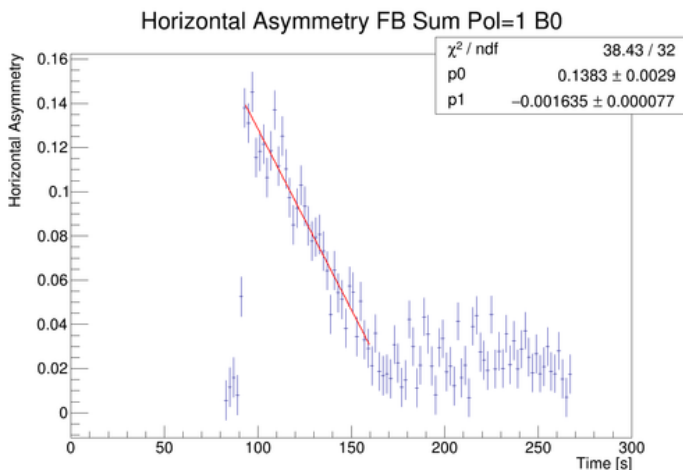


Рис. 14 — Измерения горизонтальной поляризации во время оптимизации времени когерентности спина при подготовке к эксперименту по поиску аксионов в апреле 2019 года

В **заключении** приведены основные результаты работы, которые заключаются в следующем:

1. Разработан метод измерения электрического дипольного момента дейtronона, основанный исключительно на измерении частоты прецессии спина.
2. Предложен принцип построения магнитооптической структуры кольца-накопителя, ориентированного на поиск электрического дипольного момента дейтрона.
3. Получены результаты исследования спин-декогеренции пучка дейтронов в окрестности состояния “замороженного спина”, а также метод подавления спин-декогеренции, основанный на использовании нелинейных элементов.
4. Исследованы эффекты различного рода несовершенств элементов накопительного кольца на спин-орбитальную динамику пучка.
5. Проведено численное моделирование метода калибровки нормализованной частоты прецессии спина при попеременной смене полярности ведущего поля накопительного кольца.
6. Исследованы систематические ошибки в различных предложениях по проведению эксперимента по поиску электрического дипольного момента; проведён сравнительный анализ этих предложений с методом Frequency Domain.

7. Проведена оценка статистических свойств Frequency Domain метода измерения электрического дипольного момента в накопительном кольце.

Публикации автора по теме диссертации

1. The Test of Time Reversal Invariance at COSY (TRIC) / A. Aksentyev [и др.] // Acta Physica Polonica B. — 2017. — Окт. — Т. 48. — С. 1925—1934. — URL: <http://www.actaphys.uj.edu.pl/fulltext?series=Reg&vol=48&page=1925>.
2. The physics program of PAX at COSY / Y. Valdau [и др.] // Journal of Physics: Conference Series. — 2016. — Т. 678. — URL: <https://iopscience.iop.org/article/10.1088/1742-6596/678/1/012027/meta>.
3. *Aksentev, A. E.* Statistical precision in charged particle EDM search in storage rings / A. E. Aksentev, Y. V. Senichev // Journal of Physics: Conference Series. — 2017. — Дек. — Т. 941. — URL: <http://stacks.iop.org/1742-6596/941/i=1/a=012083>.
4. *Aksentev, A.* Modeling of spin-orbital dynamics in a storage ring / A. Aksentev // Journal of Physics: Conference Series. — 2019. — Июнь. — Т. 1238. — С. 012079. — URL: <https://doi.org/10.1088%2F1742-6596%2F1238%2F1%2F012079>.
5. *Aksentyev, A.* Model of Statistical Errors in the Search for the Deuteron EDM in the Storage Ring / A. Aksentyev, Y. Senichev // Hadron Accelerators (8th Int. Particle Accelerator Conf. (IPAC'17), 14—19 мая 2017). — Copenhagen, Denmark : JACOW, Geneva, Switzerland. — С. 2258—2260. — URL: <http://accelconf.web.cern.ch/AccelConf/ipac2017/doi/JACoW-IPAC2017-TUPVA079.html>.
6. Аксентьев, А. Статистическая точность при поиске ЭДМ заряженных частиц в накопительных кольцах / А. Аксентьев, Ю. Сеничев // Ускорители заряженных частиц (III Международная конференция “Лазерные, плазменные исследования и технологии”, 24—27 янв. 2017). — Москва, Россия.
7. Аксентьев, А. Моделирование спин-орбитальной динамики пучка в накопительном кольце / А. Аксентьев // Ускорители заряженных частиц (IV Международная конференция “Лазерные, плазменные исследования и технологии”, 30 янв.—1 февр. 2018). — Москва, Россия.

8. Аксентьев, А. Декогеренция спина в структуре с замороженным спином, её подавление и эффект на ЭДМ статистику в методе Frequency Domain / А. Аксентьев, Ю. Сеничев // Ускорители заряженных частиц (V Международная конференция “Лазерные, плазменные исследования и технологии”, 12–15 февр. 2019). — Москва, Россия.
9. Aksentyev, A. Simulation of the Guide Field Flipping Procedure for the Frequency Domain Method / A. Aksentyev, Y. Senichev // Hardon Accelerators (10th Int. Particle Accelerator Conf. (IPAC'19), 19–24 мая 2019). — Melbourne, Australia.
10. Aksentyev, A. Spin Motion Perturbation Effect on the EDM Statistic in the Frequency Domain Method / A. Aksentyev, Y. Senichev // Hadron Accelerators (10th Int. Particle Accelerator Conf. (IPAC'19), 19–24 мая 2019). — Melbourne, Australia.
11. Aksentyev, A. Spin decoherence in the Frequency Domain Method for the search of a particle EDM / A. Aksentyev, Y. Senichev // Hadron Accelerators (10th Int. Particle Accelerator Conf. (IPAC'19), 19–24 мая 2019). — Melbourne, Australia.

Список литературы

1. Harris, P. G. The Neutron EDM Experiment / P. G. Harris // arXiv:0709.3100 [hep-ex]. — 2007. — 19 сент. — arXiv: [0709 .3100](https://arxiv.org/abs/0709.3100). — URL: <http://arxiv.org/abs/0709.3100> (дата обр. 16.04.2019).
2. Smith, J. H. Experimental Limit to the Electric Dipole Moment of the Neutron / J. H. Smith, E. M. Purcell, N. F. Ramsey // Phys. Rev. — 1957. — Окт. — Т. 108, вып. 1. — С. 120—122. — URL: <https://link.aps.org/doi/10.1103/PhysRev.108.120>.
3. Improved Experimental Limit on the Electric Dipole Moment of the Neutron / C. A. Baker [и др.] // Phys. Rev. Lett. — 2006. — Сент. — Т. 97, вып. 13. — С. 131801. — URL: <https://link.aps.org/doi/10.1103/PhysRevLett.97.131801>.
4. Baker et al. Reply: / C. A. Baker [и др.] // Phys. Rev. Lett. — 2007. — Апр. — Т. 98, вып. 14. — С. 149102. — URL: <https://link.aps.org/doi/10.1103/PhysRevLett.98.149102>.
5. Precise Measurement of the Positive Muon Anomalous Magnetic Moment / H. N. Brown, G. Bunce, R. M. Carey [и др.] // Phys. Rev. Lett. — 2001. — Март. — Т. 86, вып. 11. — С. 2227—2231. — URL: <https://link.aps.org/doi/10.1103/PhysRevLett.86.2227>.

6. Improved limit on the muon electric dipole moment / G. W. Bennett, B. Bousquet, H. N. Brown [и др.] // Phys. Rev. D. — 2009. — Сент. — Т. 80, вып. 5. — С. 052008. — URL: <https://link.aps.org/doi/10.1103/PhysRevD.80.052008>.
7. New Method of Measuring Electric Dipole Moments in Storage Rings / F. J. M. Farley, K. Jungmann, J. P. Miller [и др.] // Phys. Rev. Lett. — 2004. — Июль. — Т. 93, вып. 5. — С. 052001. — URL: <https://link.aps.org/doi/10.1103/PhysRevLett.93.052001>.
8. srEDM Collaboration. — URL: <https://www.bnl.gov/edm/>.
9. *Greta Guidoboni.* Overview of Spin Coherence Time study results at COSY / Greta Guidoboni. — Richmond, VA, USA, 03.05.2015. — URL: http://collaborations.fz-juelich.de/ikp/jedi/public_files/workshop/G.Guidoboni_IPAC15.pdf ; Topical meeting of Spin Tracking for Precision Measurements (IPAC15).
10. AGS Proposal: Search for a permanent electric dipole moment of the deuteron nucleus at the 10^{-29} e· cm level. Tex. отч. / D. Anastassopoulos, V. Anastassopoulos, D. Babusci [и др.] ; BNL. — 2008. — URL: https://www.bnl.gov/edm/files/pdf/deuteron_proposal_080423_final.pdf (дата обр. 25.11.2016).
11. JEDI Collaboration. — URL: <http://collaborations.fz-juelich.de/ikp/jedi/about/introduction.shtml>.
12. *Morse, W. M.* rf Wien filter in an electric dipole moment storage ring: The “partially frozen spin” effect / W. M. Morse, Y. F. Orlov, Y. K. Semertzidis // Phys. Rev. ST Accel. Beams. — 2013. — Нояб. — Т. 16, вып. 11. — С. 114001. — URL: <https://link.aps.org/doi/10.1103/PhysRevSTAB.16.114001>.
13. Spin tune mapping as a novel tool to probe the spin dynamics in storage rings / A. Saleev, N. N. Nikolaev, F. Rathmann [и др.] // Phys. Rev. Accel. Beams. — 2017. — Июль. — Т. 20, вып. 7. — С. 072801. — URL: <https://link.aps.org/doi/10.1103/PhysRevAccelBeams.20.072801>.
14. Electromagnetic Simulation and Design of a 11el Waveguide RF Wien Filter for Electric Dipole Moment Measurements of Protons and Deuterons / J. Slim [и др.] // Nuclear Instruments and Methods in Physics Research Section A: Accelerators, Spectrometers, Detectors and Associated Equipment. — 2016. — 21 авг. — Т. 828. — С. 116–124. — URL: <http://www.sciencedirect.com/science/article/pii/S0168900216303710> (дата обр. 18.04.2019).
15. *Slim, J.* First commissioning results of the waveguide RF Wien filter / J. Slim, for the JEDI Collaboration // Hyperfine Interactions. — 2019. — Янв. — Т. 240, № 1. — С. 7. — URL: <https://doi.org/10.1007/s10751-018-1547-6>.

16. The Test of Time Reversal Invariance at COSY (TRIC) / A. Aksentev [и др.] // Acta Physica Polonica B. — 2017. — Окт. — Т. 48. — С. 1925–1934. — URL: <http://www.actaphys.uj.edu.pl/fulltext?series=Reg&vol=48&page=1925>.
17. The physics program of PAX at COSY / Y. Valdau [и др.] // Journal of Physics: Conference Series. — 2016. — Т. 678. — URL: <https://iopscience.iop.org/article/10.1088/1742-6596/678/1/012027/meta>.
18. Шатунов, Ю. М. Пучки поляризованных частиц в ускорителях и накопителях / Ю. М. Шатунов. — Новосибирск : Издательство СО РАН, 2015. — 205 с.
19. Berz, M. COSY Infinity website / M. Berz, K. Makino. — 220 Trowbridge Rd, East Lansing, MI 48824, USA : Michigan State University. — URL: cosyinfinity.org.
20. How to Reach a Thousand-Second in-Plane Polarization Lifetime with 0.97- GeV/c Deuterons in a Storage Ring / G. Guidoboni, E. Stephenson, S. Andria11 [и др.] // Phys. Rev. Lett. — 2016. — Июль. — Т. 117, вып. 5. — С. 054801. — URL: <https://link.aps.org/doi/10.1103/PhysRevLett.117.054801>.
21. Koop, I. A. Colliding or co-rotating ion beams in storage rings for EDM search / I. A. Koop // Phys. Scr. — 2015. — С. 014034.
22. Aksentev, A. E. Statistical precision in charged particle EDM search in storage rings / A. E. Aksentev, Y. V. Senichev // Journal of Physics: Conference Series. — 2017. — Дек. — Т. 941. — URL: <http://stacks.iop.org/1742-6596/941/i=1/a=012083>.
23. Guidoboni, G. Spin coherence time studies of a horizontally polarized deuteron beam at COSY / G. Guidoboni, on behalf of JEDI Collaboration // Physica Scripta. — 2015. — Нояб. — Т. T166. — С. 014036.
24. Wagner, T. Beam-based alignment tests at the Cooler Synchrotron (COSY) / T. Wagner, on behalf of JEDI Collaboration // Hyperfine Interact. — 2018. — Nov. 28. — Vol. 239, no. 1. — P. 61. — URL: <https://doi.org/10.1007/s10751-018-1539-6> (visited on 04/16/2019).

Аксентьев Александр Евгеньевич

Метод замороженного спина для поиска электрического дипольного момента
дейtronа в накопительном кольце

Автореф. дис. на соискание ученой степени **канд. физ.-мат. наук**

Подписано в печать _____._____._____. Заказ № _____

Формат 60×90/16. Усл. печ. л. 1. Тираж 100 экз.

Типография _____

